

Interpretación de radiografías

Dirk Schulze, Priv.-Doz. Dr. med. dent.

(Quintessenz. 2007;58(7):767-8)

Caso 613, mujer, 73 años

Osteoma con origen en la escotadura mandibular izquierda

La paciente fue remitida a nuestra consulta externa con el diagnóstico de sospecha de un tumor en el seno maxilar izquierdo. La paciente refería un dolor difuso en el lado izquierdo del maxilar. En la radiografía panorámica (fig. 1) se aprecia, a nivel de la escotadura mandibular, una imagen en forma de hongo, homogénea, bien delimitada, con densidad de sustancia dura y un tamaño de varios centímetros que parece surgir directamente en craneal del agujero mandibular. La tomografía volumétrica digital (TVD) realizada como prueba complementaria mostró una masa homogénea, de densidad ósea con un tamaño de 3 x 3 x 2,7 cm, montada ligeramente en vestibular sobre la escotadura mandibular mediante un

pedículo y con el borde anterior en contacto estrecho con la apófisis muscular (figs. 2 a 5).

Los osteomas son tumores benignos del hueso y están formados, en general, por hueso compacto o hueso esponjoso. Se localizan frecuentemente en los senos paranasales, con una preferencia acusada por los senos frontales. La mandíbula se suele afectar más que el maxilar. El límite superior de edad se sitúa en la quinta y sexta décadas de la vida y se afectan dos veces más mujeres que hombres.

La asociación de osteomas múltiples maxilares y poliposis de colon, quistes dermoides, tumores desmoides cutáneos y dientes supernumerarios incluidos apunta a un síndrome de Gardner. El síndrome de Gardner es una poliposis adenomatosa familiar de herencia autosómica dominante que se considera una forma precancerosa de los carcinomas colorrectales.



Figura 1. Radiografía panorámica.

Clínica Universitaria de Odontología, Medicina Oral y Maxilofacial, Sección de Radiología.

Correspondencia: Dirk Schulze.
Hugstetter Strasse 55, 79106 Friburgo i. Br., Alemania.
Correo electrónico: dirk.schulze@uniklinik-freiburg.de



Figura 2. Tomografía volumétrica digital (TVD), plano axial.



Figura 3. TVD, plano coronal.



Figura 4. TVD, plano sagital.

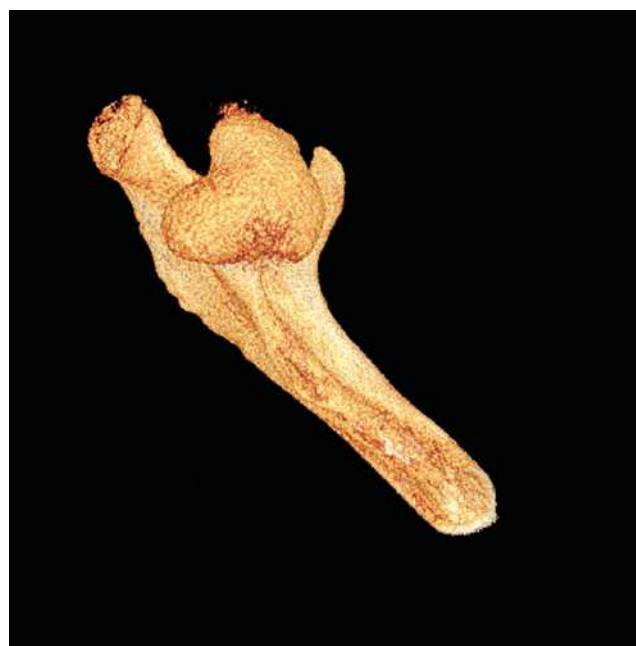


Figura 5. Técnica de representación volumétrica de la imagen de TVD desde vestibular.